

# A FÁZIS PORTE ÁBRÁZOLÁSA

(I)

példák és sok geometria, lineáris algebra

A LAPVETŐ A nyom-determinációs diagramm  
ÉS A LINEARIZÁLÁS MÓDSZERE

Külön ábrák

$$\textcircled{1} \begin{cases} \dot{x} = -x + y \\ \dot{y} = -x - y \end{cases}$$

mivel  $\lambda_{1,2} = -1 \pm i \notin \mathbb{R}$

Ellenőrizni szükséges egyenletre

$$\dot{x} = -x + y = -x - x - y = -\dot{x} - x - x - \dot{x}$$

$$y = x + \dot{x}$$

$$\ddot{x} + 2\dot{x} + 2x = 0$$

$$\lambda^2 + 2\lambda + 2 = 0 \Rightarrow \lambda_{1,2} = -1 \pm i$$

$$x(t) = c_1 e^{-t} \cos t + c_2 e^{-t} \sin t$$

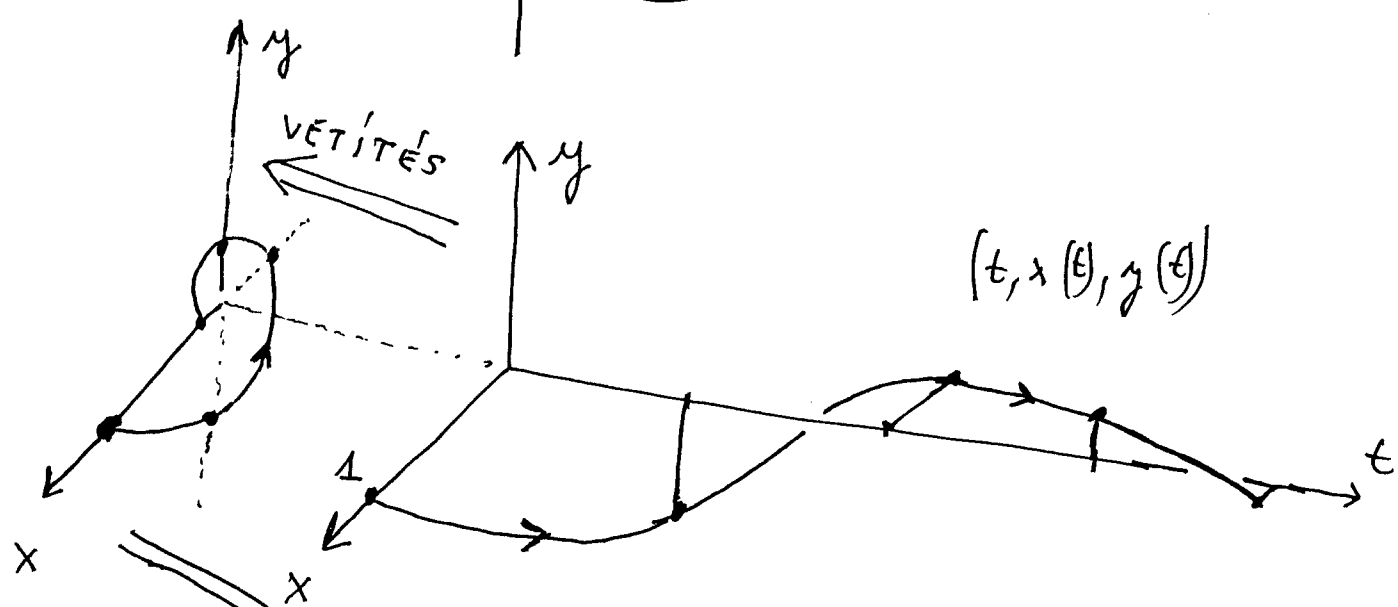
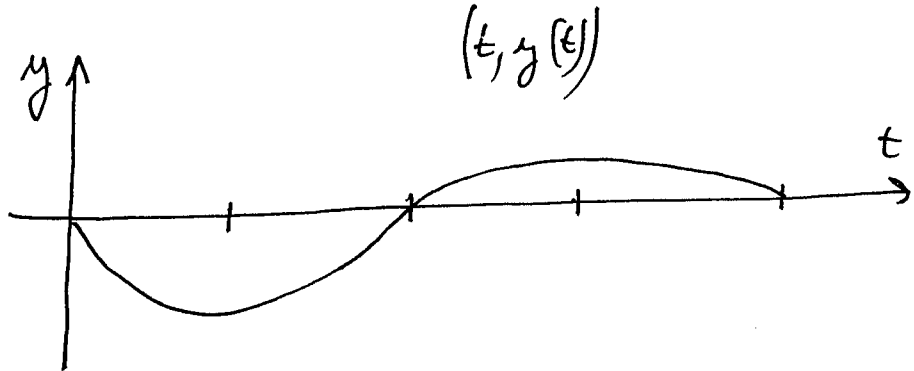
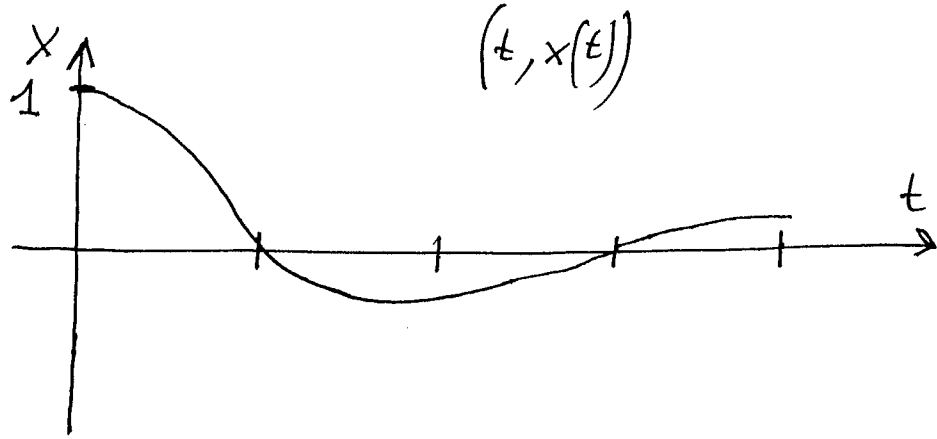
$$y(t) = -c_1 e^{-t} \sin t + c_2 e^{-t} \cos t$$

$$\begin{pmatrix} x(t) \\ y(t) \end{pmatrix} = c_1 e^{-t} \begin{pmatrix} \cos t \\ -\sin t \end{pmatrix} + c_2 e^{-t} \begin{pmatrix} \sin t \\ \cos t \end{pmatrix}$$

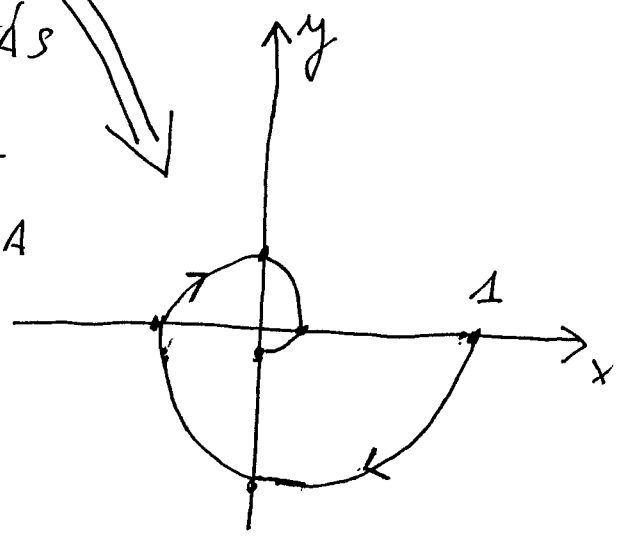
$$\text{ha } \left. \begin{matrix} x(0) = 1 \\ y(0) = 0 \end{matrix} \right\}, \text{ akkor } c_1 = 1, c_2 = 0$$

$$\begin{pmatrix} x(t) \\ y(t) \end{pmatrix} = e^{-t} \begin{pmatrix} \cos t \\ -\sin t \end{pmatrix}$$

$0 \leq t \leq 2\pi$



KIFORBATÁS  
 AZ  $x-y$   
 ALAPSÍKBA



EZ A FÁZISPORTRÉ

$(x(t), y(t))$

használna  
 $\dot{x} = f(x, y)$   
 $\dot{y} = g(x, y)$

rövid mérték

$$\lambda_{1,2} = \alpha \pm i\beta$$

$$\alpha < 0$$

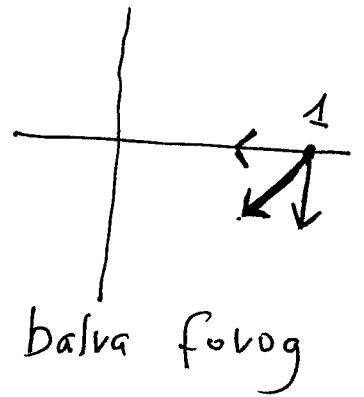
balra spirális  
az egyik vagy

minek forgó?

elég egy pontban ábrázolni

$$\dot{x} = -x + y$$

$$\dot{y} = -x - y$$



$$x(0) = f(x(0), y(0))$$

$$x(0) = x_0$$

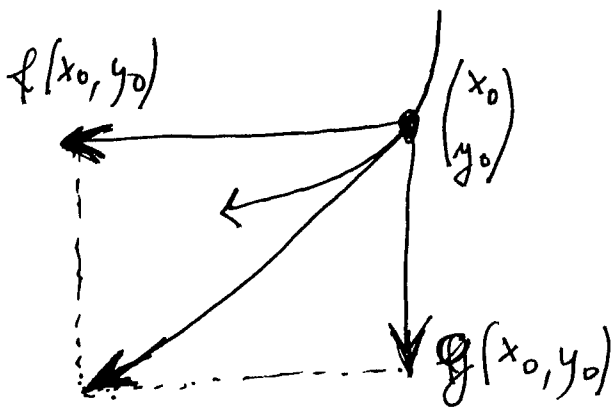
$$y(0) = g(x(0), y(0))$$

$$y(0) = y_0$$

adott

a fázispontok bármely pontjában ismerjük

az ottani megoldásjélek érintővektorát



így kapjuk a nyomon-determináns

diagram nem elfajult esetben is,

ha  $\lambda_1, \lambda_2 \in \mathbb{R}$

$$C_1 e^{\lambda_1 t} \underline{v}_1 + C_2 e^{\lambda_2 t} \underline{v}_2$$

② elfajult esetek:  $\exists k$ , hogy  $\operatorname{Re} \lambda_k = 0$  (IV)

Ⓐ a lineáris, másodfokú nem működéskor,  
a magasabbrendű tagok is számításra kerülnek

Ⓑ a nem-ely-igyezen alkalmazott  
numerikus módszerek is bajt okozhatnak

Ⓒ  $m \ddot{x} = -kx$  Newton rugó-egyenlete

Ⓓ az  $m=1$ ,  $k=1$  esetben

$$\ddot{x} + x = 0 \Leftrightarrow \begin{cases} \dot{x} = y \\ \dot{y} = -x \end{cases} \Leftrightarrow \begin{pmatrix} \dot{x} \\ \dot{y} \end{pmatrix} = \begin{pmatrix} 0 & 1 \\ -1 & 0 \end{pmatrix} \begin{pmatrix} x \\ y \end{pmatrix} \quad \lambda_{1,2} = \pm i$$

$$E(t) = \frac{x^2}{2} + \frac{y^2}{2} \Rightarrow \dot{E}(t) = x\dot{x} + y\dot{y} \Big|_{\substack{\dot{x}=y \\ \dot{y}=-x}} = 0$$

rugóban tárolt + mozgási energia = állandó

$$\text{de: } \begin{cases} \dot{x} = y - x^3 \\ \dot{y} = -x - y^5 \end{cases} \Rightarrow \dot{E}(t) = x\dot{x} + y\dot{y} \Big|_{\substack{\dot{x}=y-x^3 \\ \dot{y}=-x-y^5}} = -x^4 - y^6 < 0$$

Ⓔ  $E(t) \rightarrow 0$  ha  $t \rightarrow \infty$

$$\begin{pmatrix} x(t) \\ y(t) \end{pmatrix} \rightarrow \begin{pmatrix} 0 \\ 0 \end{pmatrix} \text{ ha } t \rightarrow \infty$$

$$\text{de: } \begin{cases} \dot{x} = y + x^3 \\ \dot{y} = -x + y^5 \end{cases} \Rightarrow \dot{E}(t) = x\dot{x} + y\dot{y} \Big|_{\substack{\dot{x}=y+x^3 \\ \dot{y}=-x+y^5}} = x^4 + y^6 > 0$$

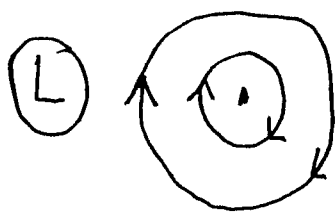
Ⓕ  $E(t) \rightarrow \infty$  ha  $t \rightarrow \infty$

$$Az \quad \begin{matrix} x \dot{x} + y \dot{y} \\ \dot{x} = f(x,y) \\ \dot{y} = g(x,y) \end{matrix} = \begin{pmatrix} x & y \end{pmatrix} \begin{pmatrix} f(x,y) \\ g(x,y) \end{pmatrix}$$

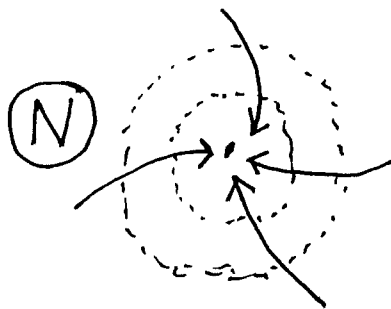
skaláris szorzat, melynek geometriai jelentése

$\left\langle \begin{matrix} \text{az energia-szintfelület} \\ \text{normálvektora} \end{matrix} \right. / \left. \begin{matrix} \text{az } \begin{cases} \dot{x} = f(x,y) \\ \dot{y} = g(x,y) \end{cases} \text{ differenciá-} \\ \text{trajektóridjának érintővektora} \end{matrix} \right\rangle$

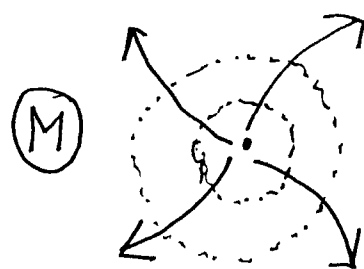
a tetszőlegesen adott  $\begin{pmatrix} x \\ y \end{pmatrix} \in \mathbb{R}^2$  pontban  $\Rightarrow$



centrum



globális vonzó

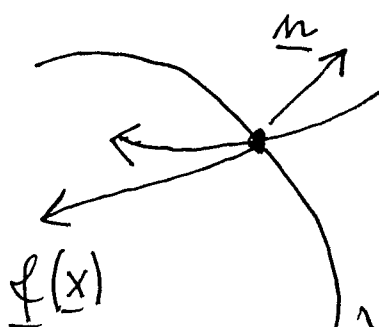


globális taszító

ÁLTALÁBAN: (E)  $\dot{\underline{x}} = \underline{f}(\underline{x})$  &  $V: \mathbb{R}^n \rightarrow \mathbb{R}$

$$\overset{\text{def}}{\dot{V}}_{(E)} = \left. \frac{d}{dt} V(\underline{x}(t)) \right|_{t=0} = \left\langle \underline{\text{grad}} V(\underline{x}(t)), \underline{\dot{x}}(t) \right\rangle \Big|_{t=0}$$

$$= \left\langle \underline{\text{grad}} V(\underline{x}), \underline{f}(\underline{x}) \right\rangle$$



$$\underline{\text{grad}} V(\underline{x}) = \underline{n}$$

$$V(\underline{x}) = \text{const}$$

$$\dot{V}_E < 0$$

kompatibilis: "befelé" metsz

LEJÁRÓ ÉRTÉKELÉS  
 LEJÁRÓ ÉRTÉKELÉS

$$\dot{x} = f(x)$$

$$x(0) = x_0$$

$$x_{k+1} = x_k + h f(x_k), \quad k=0,1,2,\dots$$

explicit Euler-módszer,  $h > 0$  lépésközzel

$$\begin{aligned} \dot{x} &= y \\ \dot{y} &= -x \end{aligned} \quad \begin{pmatrix} x_{k+1} \\ y_{k+1} \end{pmatrix} = \begin{pmatrix} x_k \\ y_k \end{pmatrix} + h \begin{pmatrix} y_k \\ -x_k \end{pmatrix}, \quad k=0,1,2,\dots$$

$t = kh$ : a numerikus energia

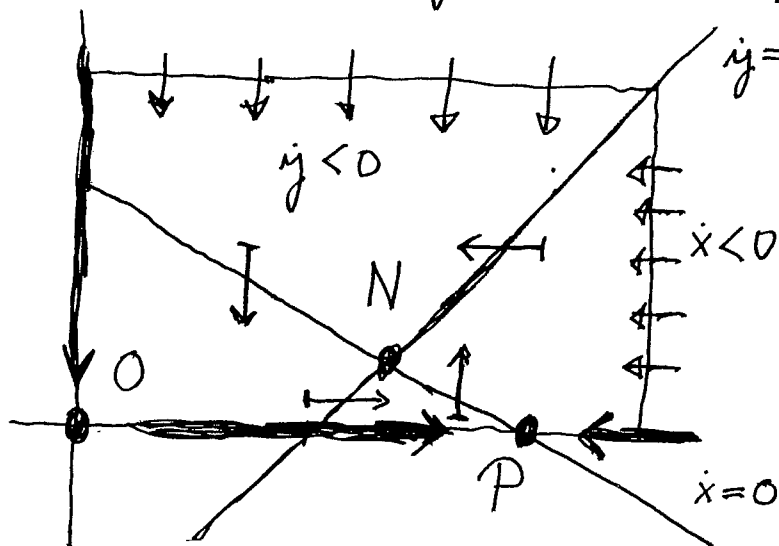
$$\Rightarrow \frac{x_{k+1}^2 + y_{k+1}^2}{2} = (1+h^2) \frac{x_k^2 + y_k^2}{2} \Leftrightarrow E_{k+1} = (1+h^2) E_k$$

$t \in [0, \infty)$ ,  $h$  fix  $\Rightarrow E_N \rightarrow \infty$  ha  $N \rightarrow \infty$

$t \in [0, T]$ ,  $h = \frac{T}{N}$ ,  $T$  fix  $\Rightarrow E_N \rightarrow E_0$  ha  $N \rightarrow \infty$

megéri az energiát az explicit Euler-módszer (?!)  
nem, legalábbis nem "elég jól".

③ nemcsak az energia lehet Lyapunov-fgv



$$(E) \begin{cases} \dot{x} = x(1 - \frac{x}{2} - y) \\ \dot{y} = y(-1 - y + x) \end{cases}$$

$$O = \begin{pmatrix} 0 \\ 0 \end{pmatrix} \quad P = \begin{pmatrix} 2 \\ 0 \end{pmatrix} \quad N = \begin{pmatrix} 4/3 \\ 1/3 \end{pmatrix}$$

$$J_{\text{Jacobi}} = J = \begin{pmatrix} 1-x-y & -x \\ y & -1-2y+x \end{pmatrix}$$

$$J(0) = \begin{pmatrix} 1 & 0 \\ 0 & -1 \end{pmatrix}$$

$$J(P) = \begin{pmatrix} -1 & -2 \\ 0 & 1 \end{pmatrix}$$

$$J(N) = \begin{pmatrix} -2/3 & -4/3 \\ 1/3 & -1/3 \end{pmatrix}$$

$$\lambda_1 = 1 \quad \underline{v}_1 = \begin{pmatrix} 1 \\ 0 \end{pmatrix}$$

$$\lambda_1 = 1 \quad \underline{v}_1 = \begin{pmatrix} -1 \\ 1 \end{pmatrix}$$

$$\lambda_{1,2} = \frac{-1 \pm \sqrt{1 - \frac{8}{3}}}{2}$$

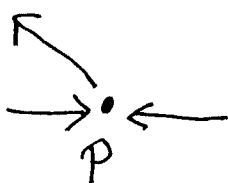
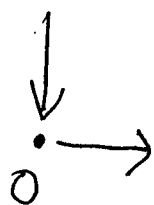
$$\lambda_2 = -1 \quad \underline{v}_2 = \begin{pmatrix} 0 \\ 1 \end{pmatrix}$$

$$\lambda_2 = -1 \quad \underline{v}_2 = \begin{pmatrix} 1 \\ 0 \end{pmatrix}$$

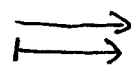
gyevegypont

gyevegypont

vonzó fókusz

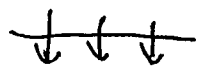


+ forgási irány



nyitlak alapján

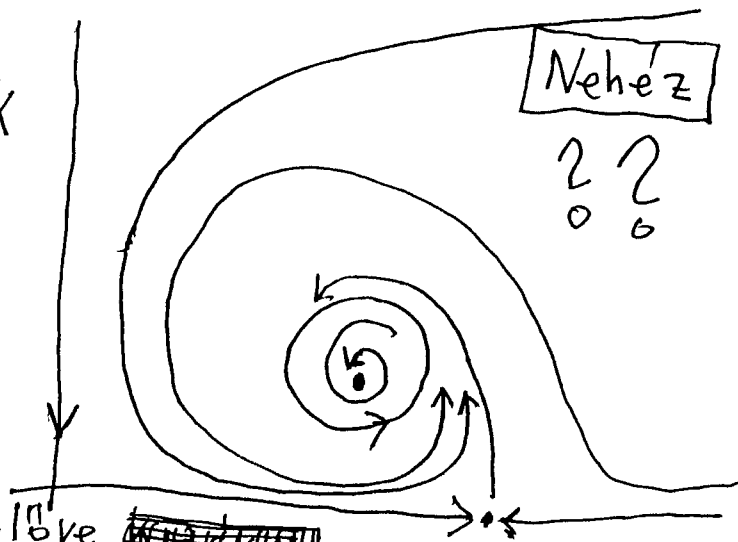
a nagy téglalap mindent bevon



Ljapunov-felület-darabok

Nehéz

??  
0 0



Az "N" körül.

erőteljes periodikus

pályát nem tudjuk egyelőre kizárni. Ehhez nem-lokális módszer kell.

$$V(x, y) = x - \frac{4}{3} \ln x + y - \frac{1}{3} y^2 \quad x > 0, y > 0$$

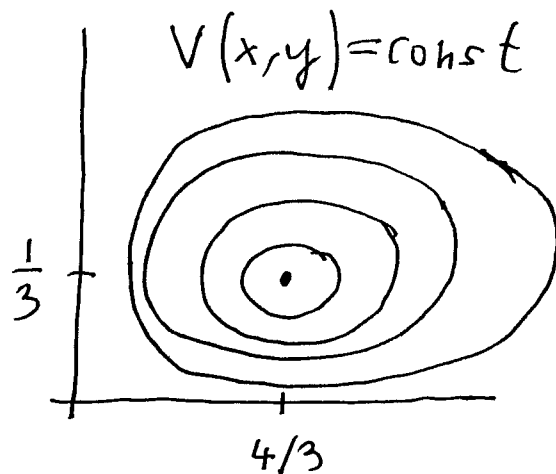
VIII

Va teljes int  $\mathbb{R}_+^2$ -en erős Lyapunov függvények  
bizonyol  $\Rightarrow$  N globálisan vonzó,  $\nexists$  periodikus pálya

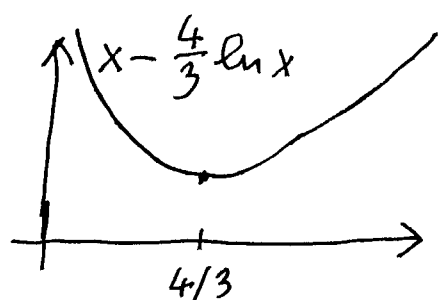
Valóban:

V minimumhelye  $\left(\frac{4}{3}, \frac{1}{3}\right)$ , többi

sziintvonala zárt görbe,  
melyeket a trajektóriák  
mind befelé metszenek:



$$\dot{V}_{(E)}(x, y) = \dots = -\frac{1}{2} \left(x - \frac{4}{3}\right)^2 - \left(y - \frac{1}{3}\right)^2 < 0 \quad \text{ha } \begin{pmatrix} x \\ y \end{pmatrix} \neq \begin{pmatrix} 4/3 \\ 1/3 \end{pmatrix}$$



De miért ezzel a V  
függvényvel próbálkoztunk?

Ezért:

$$\left. \begin{aligned} \dot{x} &= x \left(\frac{1}{3} - y\right) \\ \dot{y} &= y \left(-\frac{4}{3} + x\right) \end{aligned} \right\} \Rightarrow \frac{dy}{dx} = \frac{y \left(-\frac{4}{3} + x\right)}{x \left(\frac{1}{3} - y\right)}$$

$$\int \frac{\frac{1}{3} - y}{y} dy = \int \frac{-\frac{4}{3} + x}{x} dx \quad \text{szétválasztható d.e.}$$

$$\Rightarrow \frac{1}{3} \ln y - y = -\frac{4}{3} \ln x + x + \text{const}$$

N körül csupa periodikus pálya

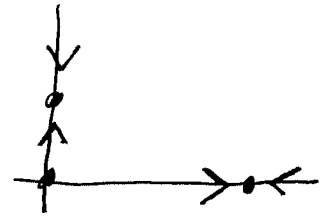


④ Néha az elemi ívelés is elég

IX

$$\begin{cases} \dot{x} = x(4-x-y) \\ \dot{y} = y(1-y+\frac{x}{2}) \end{cases}$$

$\partial \mathbb{R}_+^2$ -n



$O = \begin{pmatrix} 0 \\ 0 \end{pmatrix}$

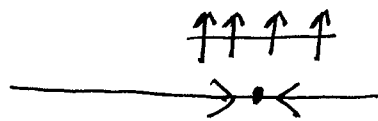
$P = \begin{pmatrix} 4 \\ 0 \end{pmatrix}$

$Q = \begin{pmatrix} 0 \\ 1 \end{pmatrix}$

$N = \begin{pmatrix} 2 \\ 2 \end{pmatrix}$

P felett kicsivel:

$x \approx 4, y = \varepsilon$



$\dot{y} \approx \varepsilon(1-\varepsilon+2) > 0$

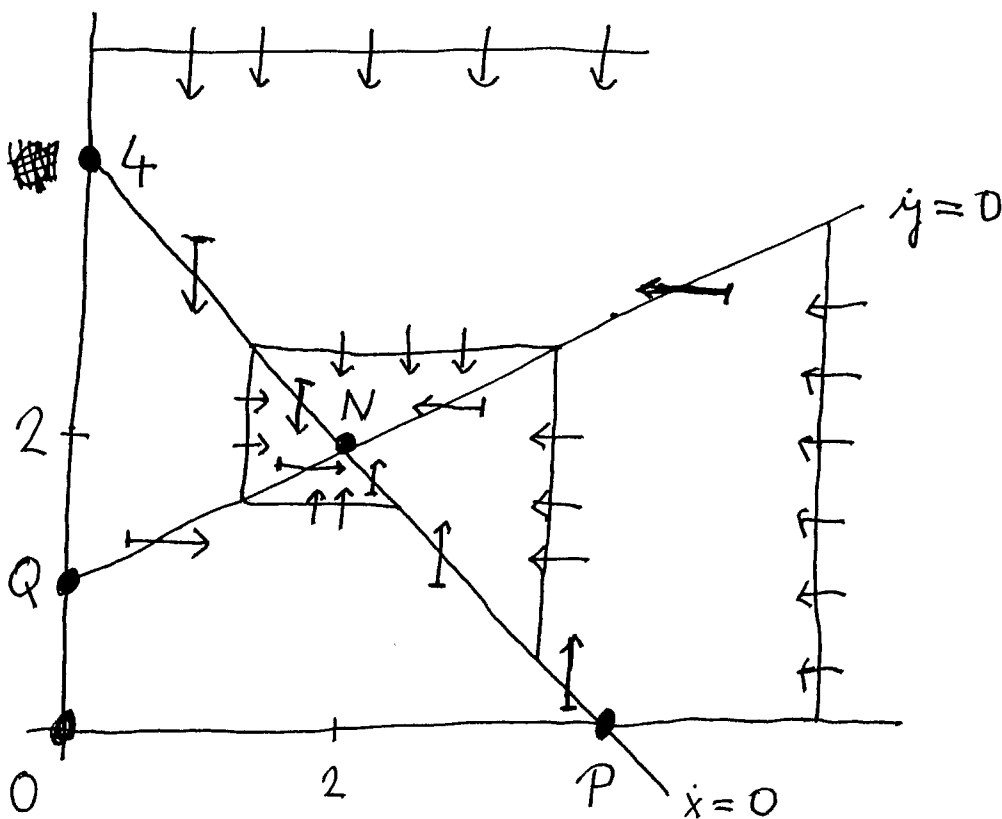
Q-tól jobbra kicsivel:

$x = \varepsilon, y \approx 1$

$\dot{x} \approx \varepsilon(4-\varepsilon-1) > 0$



N körül és a teljes int  $\mathbb{R}_+^2$ -en:



N globálisan vonzó fókusz  
O, P, Q nyerev

$$\textcircled{5} \quad \left. \begin{aligned} \dot{x} &= x \left( 1 - \frac{x}{2} - y \right) \\ \dot{y} &= y \left( \frac{3}{2} - x - y \right) \end{aligned} \right\} \quad \mathcal{F} = \begin{pmatrix} 1-x-y & -x \\ -y & \frac{3}{2}-2y-x \end{pmatrix} \quad \textcircled{X}$$

$$O = \begin{pmatrix} 0 \\ 0 \end{pmatrix} \quad P = \begin{pmatrix} 2 \\ 0 \end{pmatrix} \quad Q = \begin{pmatrix} 0 \\ 3/2 \end{pmatrix} \quad N = \begin{pmatrix} 1 \\ 1/2 \end{pmatrix}$$

$$\mathcal{F}(O) = \begin{pmatrix} 1 & 0 \\ 0 & 3/2 \end{pmatrix}$$

$$\mathcal{F}(P) = \begin{pmatrix} -1 & -2 \\ 0 & -1/2 \end{pmatrix}$$

$$\mathcal{F}(Q) = \begin{pmatrix} -1/2 & 0 \\ -3/2 & -3/2 \end{pmatrix}$$

$$\lambda_1 = \frac{3}{2} \quad \underline{v}_1 = \begin{pmatrix} 0 \\ 1 \end{pmatrix}$$

$$\lambda_1 = -1/2 \quad \underline{v}_1 = \begin{pmatrix} 4 \\ +1 \end{pmatrix}$$

$$\lambda_1 = -1/2 \quad \underline{v}_1 = \begin{pmatrix} 2 \\ -3 \end{pmatrix}$$

$$\lambda_2 = 1 \quad \underline{v}_2 = \begin{pmatrix} 1 \\ 0 \end{pmatrix}$$

$$\lambda_2 = -1 \quad \underline{v}_2 = \begin{pmatrix} 1 \\ 0 \end{pmatrix}$$

$$\lambda_2 = -3/2 \quad \underline{v}_2 = \begin{pmatrix} 0 \\ 1 \end{pmatrix}$$

stabil! csomó

vonzó csomó

vonzó csomó

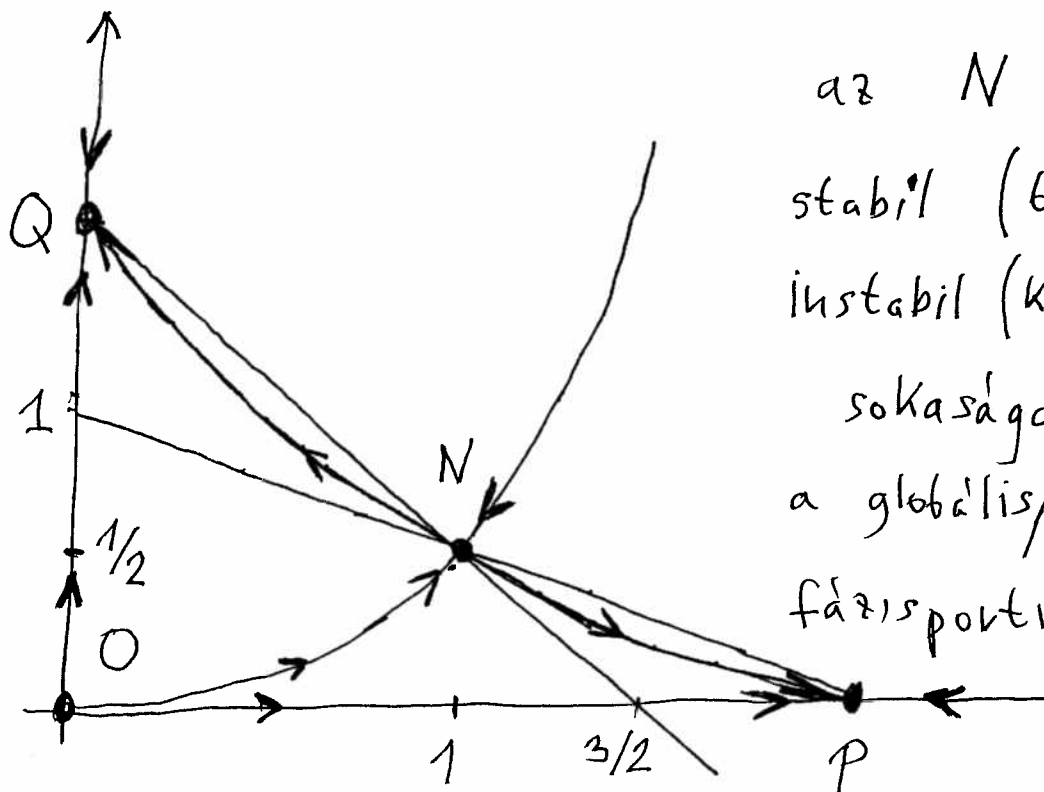
$$\mathcal{F}(N) = \begin{pmatrix} -1/2 & -1 \\ -1/2 & -1/2 \end{pmatrix}$$

$$\lambda_{1,2} = -\frac{1}{2} \pm \frac{1}{\sqrt{2}}$$

$$\lambda_1 > 0$$

$$\lambda_2 < 0$$

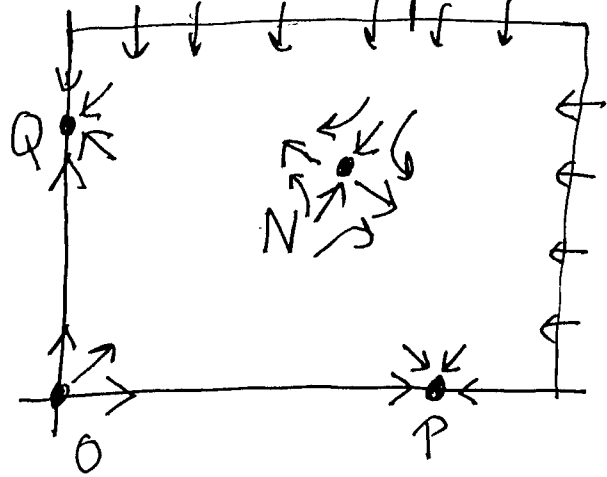
nyeregpont



az N nyeregpont  
stabil (bemenő) &  
instabil (kimenő)  
sokasága mint  
a globális/belső  
fázisportré lényege

Ez az érdekesi végeredmény fokozatosan  $(\text{XI})$   
 alakult ki, az egyensúlyi helyzetek közül,  
 lokális fázisportok "összekapcsolásával",

a  $\infty$  távoli pont tasztító jellegére is figyelve.



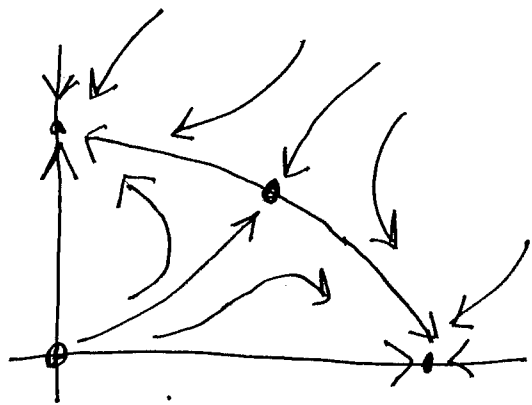
Évezhető, hogy

N-ből P-be és Q-be

N-be O-ból és a  $\infty$ -ből

megy egy-egy trajektória

Ez már szinte elegendő is.



Ak, a részletes

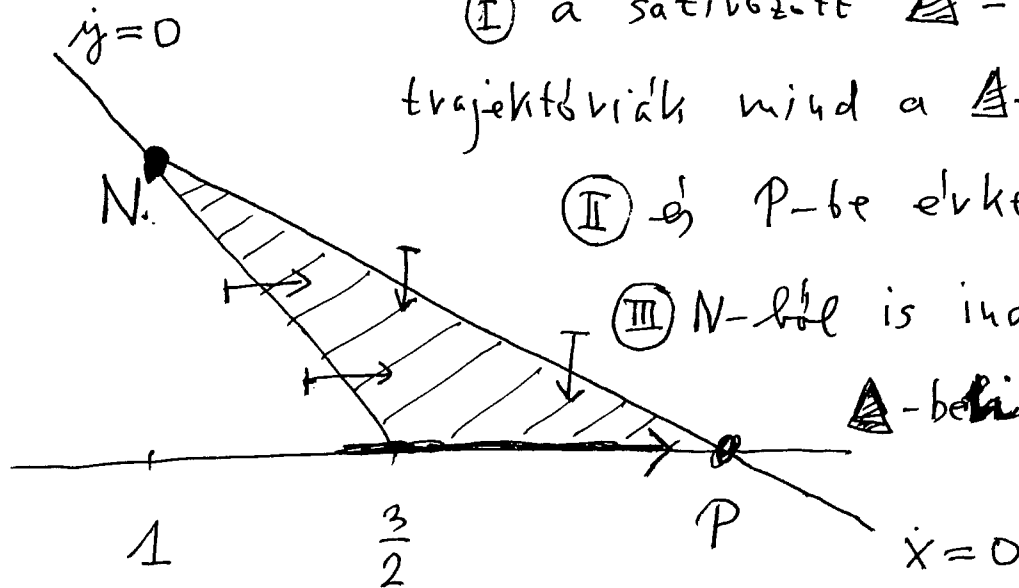
indoklást is szeretné látni:

Ⓘ a szabított  $\Delta$ -be bejutó  
 trajektóriák mind a  $\Delta$ -ben maradnak

Ⓙ és P-be érkeznek

Ⓜ N-ből is indul ki a

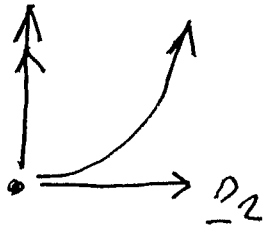
$\Delta$ -beli futó  
 trajektória



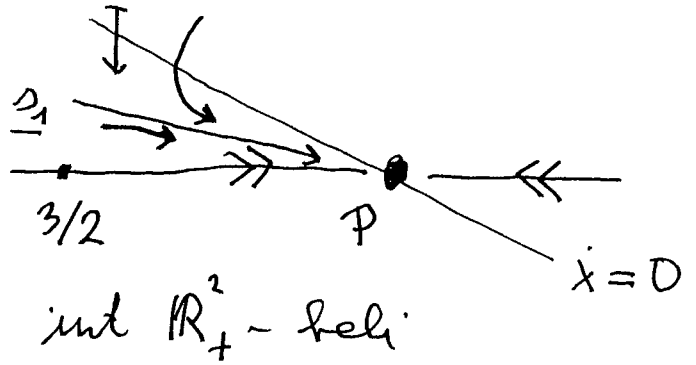
Ⓓ ha volna periodikus pátlya, azon belül volna  
 egyensúlyi helyzet, de ez [már tudjuk] nem lehet

Ha „sifvázsi” nérelne valaki az ábrát:

(XII)

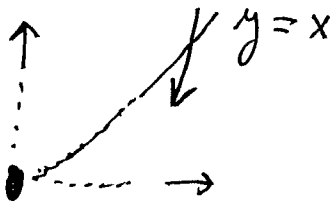


int  $\mathbb{R}_+^2$ -beli  
 trajektoriak 0 körül  
 $p_2$ -hez simulnak



int  $\mathbb{R}_+^2$ -beli  
 trajektoriak P körül  
 $p_1$ -hez simulnak

megj:  $y=x \gg 1 \Rightarrow \dot{y} \approx -2x^2 \ll -\frac{3}{2}x^2 \approx \dot{x} \ll 0$

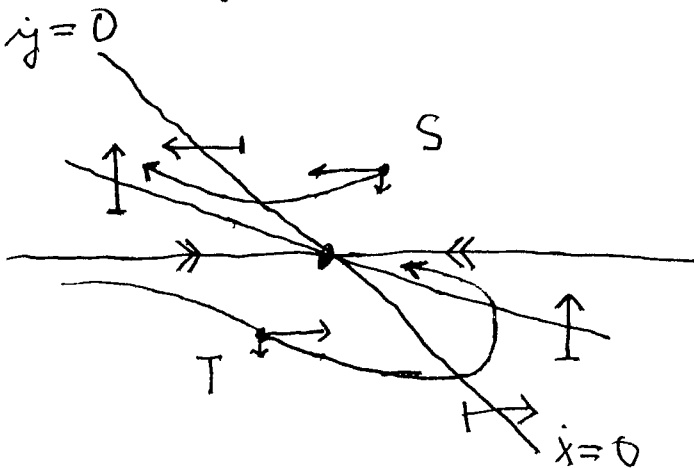


S MOST A  $\mu=2$  BIFURKÁCIÓS  
 PONTHOZ TARTOZÓ KRITIKUS ÁBRA:

$$\textcircled{6} \begin{cases} \dot{x} = x(1 - \frac{x}{2} - y) \\ \dot{y} = y(2 - x - y) \end{cases} \quad P = \begin{pmatrix} 2 \\ 0 \end{pmatrix} \quad J(P) = \begin{pmatrix} -1 & -2 \\ 0 & 0 \end{pmatrix}$$

$$S = \begin{pmatrix} 2+\varepsilon \\ \varepsilon \end{pmatrix} \Rightarrow \begin{cases} \dot{x} = -\frac{3}{2}\varepsilon(2+\varepsilon) \\ \dot{y} = -2\varepsilon^2 \end{cases}$$

$$T = \begin{pmatrix} 2-\varepsilon \\ -\varepsilon \end{pmatrix} \Rightarrow \begin{cases} \dot{x} = \frac{3}{2}\varepsilon(2-\varepsilon) \\ \dot{y} = -2\varepsilon^2 \end{cases}$$



felül felnyereg



alul felgyomló

[a transzkritikus bifurkáción belül is elfajult eset]

$$\left. \begin{aligned} \dot{x} &= x \left( 1 - \frac{x}{2} - y \right) \\ \dot{y} &= y (\mu - x - y) \end{aligned} \right\} \text{ ahol } \mu > 0 \text{ paraméter} \quad \text{XIII}$$

egyensúlyi helyzetek

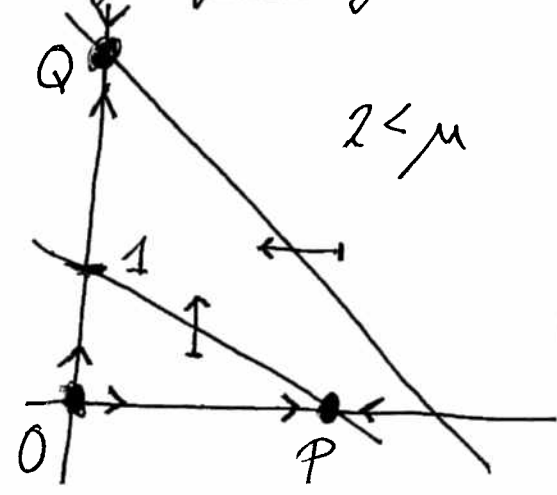
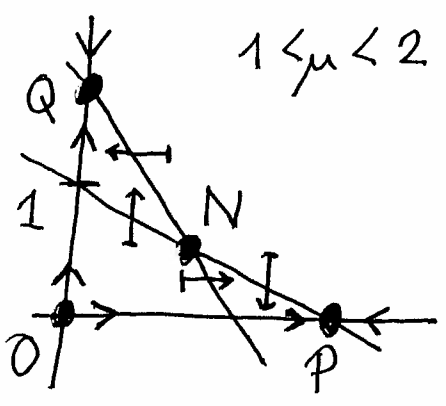
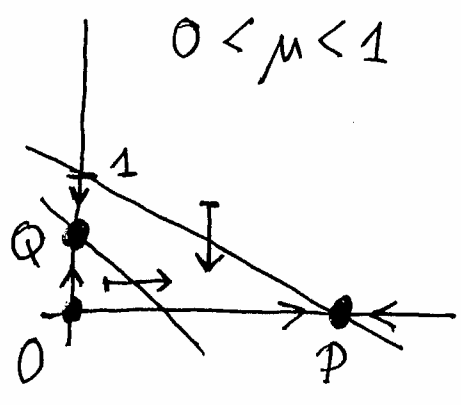
$$J = \begin{pmatrix} 1-x-y & -x \\ -y & \mu-2y-x \end{pmatrix}$$

$O = \begin{pmatrix} 0 \\ 0 \end{pmatrix} \quad P = \begin{pmatrix} 2 \\ 0 \end{pmatrix} \quad Q = \begin{pmatrix} 0 \\ \mu \end{pmatrix} \quad N = \begin{pmatrix} 2\mu-2 \\ 2-\mu \end{pmatrix}$   
 $J(O) = \begin{pmatrix} 1 & 0 \\ 0 & \mu \end{pmatrix} \quad J(P) = \begin{pmatrix} -1 & -2 \\ 0 & \mu-2 \end{pmatrix} \quad J(Q) = \begin{pmatrix} 1-\mu & 0 \\ -\mu & -\mu \end{pmatrix}$

$\downarrow \uparrow \in \mathbb{R}_+^2$   
 $N \in \mathbb{R}_+^2 \Leftrightarrow \left. \begin{aligned} 2\mu-2 \geq 0 \\ 2-\mu \geq 0 \end{aligned} \right\} \Leftrightarrow 1 \leq \mu \leq 2$

lokális stabilitás  $O, P, Q, N$  körül

és a vektormező néhány további jellemzősége



int  $\mathbb{R}_+^2$  pontjai körül van:

	0	1	2	$\rightarrow \mu$
P	mindent	csökkenő részt	semmit	
Q	semmit	növekvő részt	mindent	

Ha  $\mu \geq 0$  növekszik, akkor az  $y$  versenyképessége javul

$$\dot{y} = b_2 y \left(1 - \frac{y}{C_2}\right)$$

$b_2 =$  birth rate

$C_2 =$  carrying capacity

$\mu$  növelése egyenes jelet



magasabb születési rátát

$$x(0) = x_0 = 0 \Rightarrow x(t) = 0 \quad \forall t$$

és a környezet ellátó-képességének növelését

$$J(N) = \begin{pmatrix} 1-\mu & 2-2\mu \\ \mu-2 & \mu-2 \end{pmatrix}$$

$$\lambda^2 - T\lambda + D = 0$$

$$T = -1$$

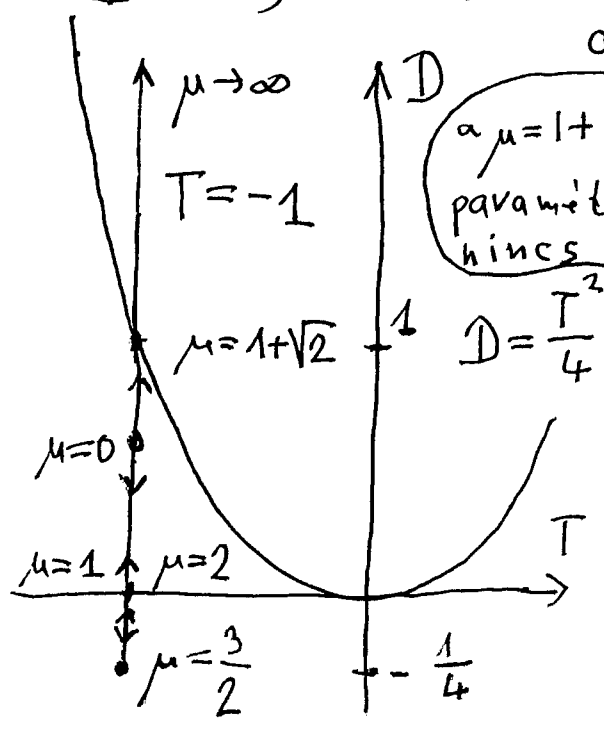
$$D = (\mu-1)(\mu-2)$$

$\exists k: \text{Re } \lambda_k = 0 \Leftrightarrow \begin{cases} \mu=1 : N(\mu) \text{ belép } \mathbb{R}_+^2 \text{-ba} \\ \mu=2 : N(\mu) \text{ kilép } \mathbb{R}_+^2 \text{-ből} \end{cases}$

$\Leftrightarrow$  a linearizálás módszere  $N$  körül önmagában nem elegendő!

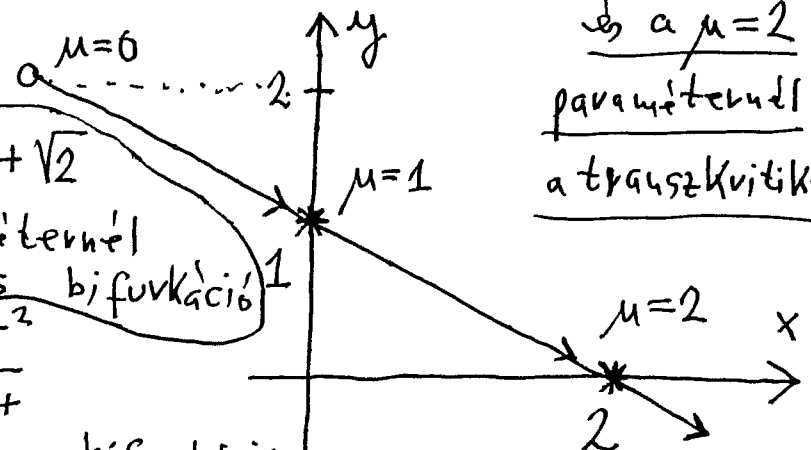
	$1-\sqrt{2}$	1	2	$1+\sqrt{2}$	$\mu$
N	vonzó fókusz	vonzó csomó	nyeregpont	vonzó csomó	vonzó fókusz

$N = N(\mu)$  mozgása a T-D diagrammon



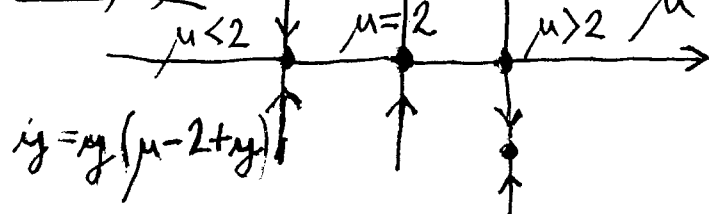
$N$  mozgása  $\mathbb{R}^2$ -ben

és a  $\mu=2$  paraméternél a transzkritikus



bifurkáció

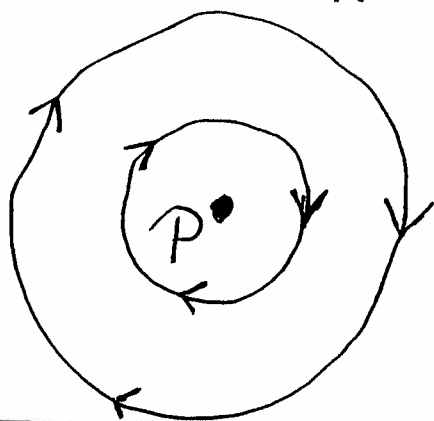
levegő:



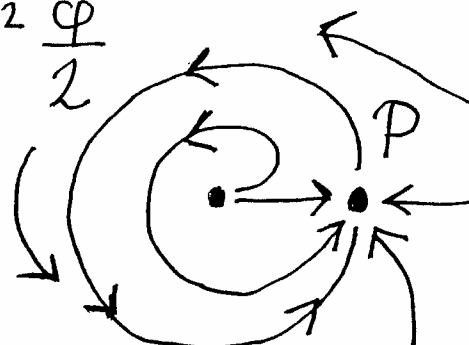
rohamnál a síkon

stabil csomó/fókusz  $\Leftrightarrow$  vonzó csomó/fókusz  
 instabil csomó/fókusz  $\Leftrightarrow$  taszító csomó/fókusz

általános egyenülly helyzetve: stabilitás  $\neq$  vonzás



$$\left. \begin{array}{l} \dot{r} = 0 \\ \dot{\varphi} = -1 \\ \Downarrow \\ \dot{x} = y \\ \dot{y} = -x \end{array} \right\} \circ \quad \left. \begin{array}{l} \dot{r} = r(1-r) \\ \dot{\varphi} = \sin^2 \frac{\varphi}{2} \end{array} \right\} \circ$$



$x(t) = r(t) \cdot \cos \varphi(t)$  &  $y(t) = r(t) \cdot \sin \varphi(t)$

Tfh  $\left. \begin{array}{l} \dot{x} = f(x) \\ x(0) = x_0 \end{array} \right\} \Leftrightarrow x_{0, x_0}(\cdot) : \mathbb{R} \rightarrow \mathbb{R}^n$

existencia, unicitás  
folytonos függés

megoldó-operátor  $\Leftrightarrow$  megoldásfüggvény

$\Phi : \mathbb{R} \times \mathbb{R}^n \rightarrow \mathbb{R}^n$   
 $(t, x) \rightarrow x_{0, x}(t) = \Phi(t, x)$

$x_0 \in \mathbb{R}^n$  egyenülly helyzet  $\Leftrightarrow f(x_0) = 0 \Leftrightarrow \Phi(t, x_0) = x_0 \quad \forall t$

stabil  $\Leftrightarrow \forall \varepsilon \exists \delta$ , hogy  $|x_0 - x| < \delta \Rightarrow |x_0 - \Phi(t, x)| < \varepsilon \quad \forall t \geq 0$

vonzó  $\Leftrightarrow \exists \eta_0$ , hogy  $|x_0 - x| < \eta_0 \Rightarrow \Phi(t, x) \xrightarrow{t \rightarrow \infty} x_0$

aszimptotikusan stabil  $\Leftrightarrow$  stabil és vonzó

vonzási tartomány  $\Leftrightarrow \mathcal{A}(x_0) = \{x \in \mathbb{R}^n \mid \Phi(t, x) \xrightarrow{t \rightarrow \infty} x_0\}$

instabil  $\Leftrightarrow$  nem stabil

a XV lap folytatásaként:

további alapszempontok

és  $\left. \begin{array}{l} \text{Bolzano-} \\ \text{-Weierstrass} \end{array} \right\}$  típusú áttelek

XVI

$(X, d)$  metrikus tér

$\Phi: \mathbb{R} \times X \rightarrow X$  dinamikus rendszer, ha

(i)  $\Phi$  [mindkét változóban egyszerre] folytonos

(ii)  $\Phi(0, x) = x \quad \forall x \in X$

(iii)  $\Phi(t+s, x) = \Phi(t, \Phi(s, x)) \quad \forall t, s \in \mathbb{R} \quad \forall x \in X.$

$M \subset X$  invariáns halmaz, ha

$x \in M \Rightarrow \Phi(t, x) \in M \quad \forall t \in \mathbb{R}$  } azaz ha  $x \in M \Rightarrow \gamma(x) \subset M;$

$\gamma(x) \stackrel{\text{def}}{=} \{ \Phi(t, x) \in X \mid t \in \mathbb{R} \}$  az  $x$ -en átmenő trajektória

$\left. \begin{array}{l} \text{pozitív} \\ \text{negatív} \end{array} \right\}$  féltrajektória:  $\left\{ \begin{array}{l} \gamma^+(x) = \{ \Phi(t, x) \in X \mid t \geq 0 \} \\ \gamma^-(x) = \{ \Phi(t, x) \in X \mid t \leq 0 \} \end{array} \right.$

$\omega(x) = \{ y \in X \mid \exists \{t_n\}_{n=1}^{\infty} \subset \mathbb{R}, \text{ hogy } t_n \rightarrow \infty \text{ és } \Phi(t_n, x) \rightarrow y \}$

$\omega(x)$  neve: az  $x \in X$  pont omega határhalmaza

$\alpha(x) = \{ y \in X \mid \exists \{t_n\}_{n=1}^{\infty} \subset \mathbb{R}, \text{ hogy } t_n \rightarrow -\infty \text{ és } \Phi(t_n, x) \rightarrow y \}$

$\alpha(x)$  neve: az  $x \in X$  pont alfa-határhalmaza

Mostantól kezdve legyen  $X = \mathbb{R}^d$  és  $\Phi: \mathbb{R} \times X \rightarrow X$  din. rendszer.

vagy  $X = M \subset \mathbb{R}^d$  zárt, invariáns részhalmaza



Tétel:  $\gamma^+(x)$  korlátos halmaza  $X$ -ben

XVII

$\Rightarrow \omega(x) \neq \emptyset$   
korlátos és zárt  
invariáns  
összefüggő } halmaz

$\hookrightarrow d(\Phi(t, x), \omega(x)) \rightarrow 0$  ha  $t \rightarrow \infty$ .

Tétel: a  $d=2 \Leftrightarrow$  síkbeli esetben sokkal több is igaz.

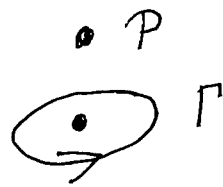
tfh: az egyensúlyi helyzetek száma véges

tfl:  $\gamma^+(x)$  korlátos  $\mathbb{R}^2$ -ben.

$\Rightarrow \omega(x)$  csak háromféle lehet:

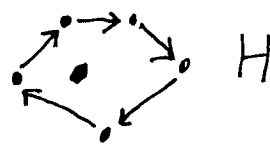
[Poincaré - Bendixson]

$\omega(x) = P$  egyensúlyi helyzet



$\Gamma$  periodikus pálya

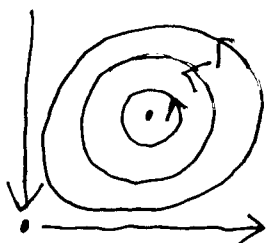
$H$  heteroklinikus köv



továbbá  $\Gamma$  és  $H$  belsejében is létezik egyensúlyi helyzet

Még egy síkbeli tétel: 2D Lotka-Volterra rendszernek

nem lehet olyan periodikus megoldás, amely akár csak az egyik oldalról izolált lenne:

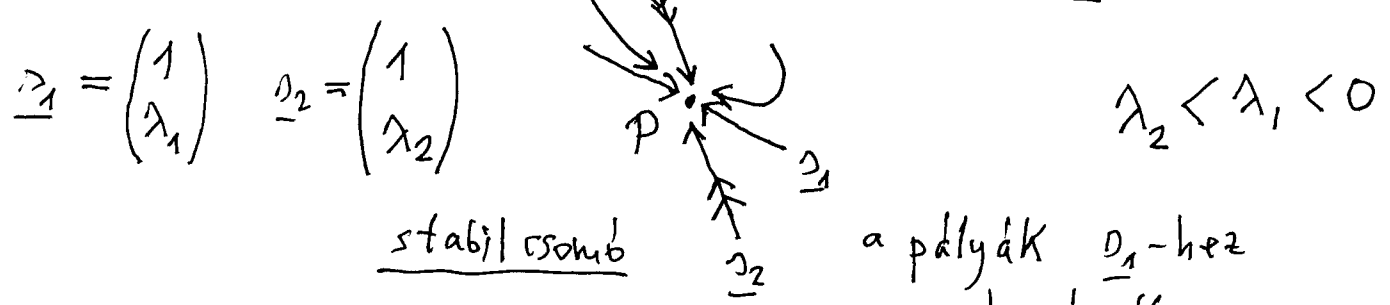


tehát ha  $\exists$  periodikus megoldás, akkor  $(0, \infty) \times (0, \infty)$   $K_1$  van töltve (körül) periodikus megoldásokkal egy centrummal

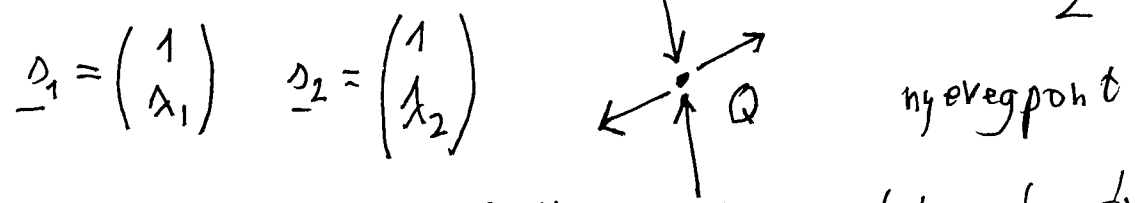
példa  $\left. \begin{aligned} \dot{x} &= y \\ \dot{y} &= -x(1-x) - cy \end{aligned} \right\} c > 2$

egyensúly, helyzetek  $P = \begin{pmatrix} 0 \\ 0 \end{pmatrix}$   $Q = \begin{pmatrix} 1 \\ 0 \end{pmatrix}$   $J_{\text{Jacobi}} = \begin{pmatrix} 0 & 1 \\ -1+2x & -c \end{pmatrix}$

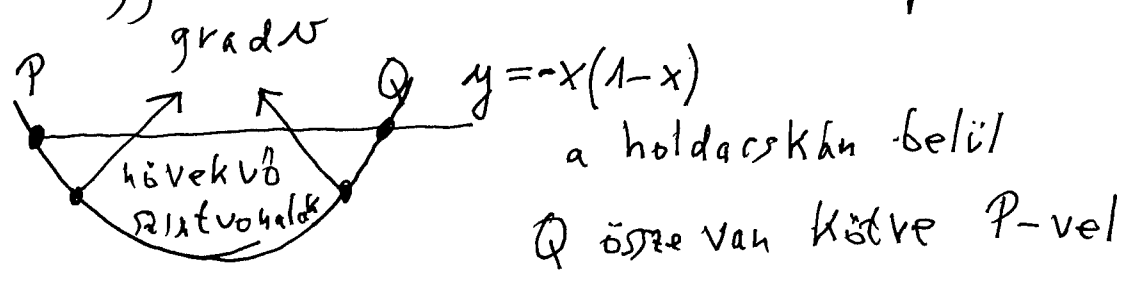
$\exists(P) = \begin{pmatrix} 0 & 1 \\ -1 & -c \end{pmatrix}$   $\lambda^2 + \lambda c + 1 = 0$   $\lambda_{1,2} = \frac{-c \pm \sqrt{c^2 - 4}}{2} < 0$



$\exists(Q) = \begin{pmatrix} 0 & 1 \\ 1 & -c \end{pmatrix}$   $\lambda^2 + \lambda c - 1 = 0$   $\lambda_{1,2} = \frac{-c \pm \sqrt{c^2 + 4}}{2} \geq 0$



Most egy Belzano & Weierstrass típusú érvelés.

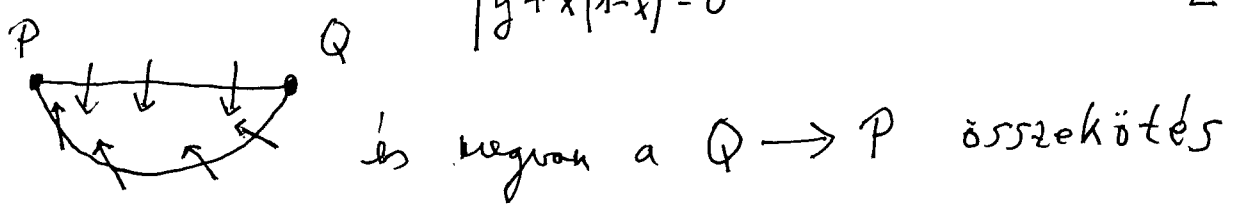


$V(x,y) = y + x(1-x) = 0$

$\text{grad } V = (1+2x, 1)$

$\langle \text{grad } V, \begin{pmatrix} \dot{x} \\ \dot{y} \end{pmatrix} \rangle = (1+2x)\dot{x} + \dot{y} \Big|_{\substack{\dot{x}=y \\ \dot{y}=-x(1-x)-cy}}$

$= (1+2x)y - x(1-x) - cy \Big|_{y+x(1-x)=0} = y(2-2x-c) > 0 \quad [\text{ha } y \neq 0]$



Alternatív érvelés:

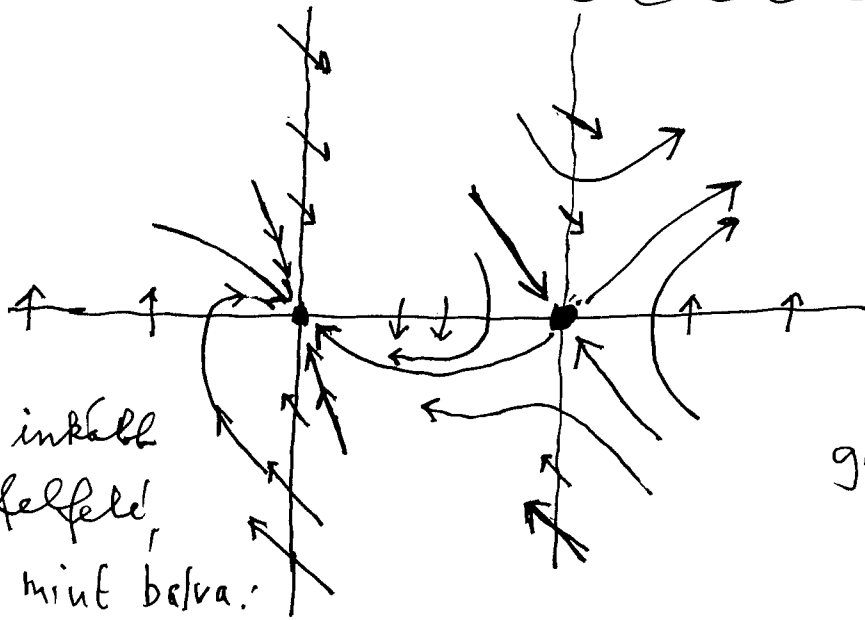
XIX

$$\frac{d}{dt} V(x(t), y(t)) \Big|_{t=0} > 0$$

$$V(x, y) = 0 \quad 0 < x < 1$$

"Ljapunov - felület"

Ljapunov - szintvonal



$$\dot{x} = y$$

$$\dot{y} = -x(1-x) - cy$$

globális fázisportré [?!]

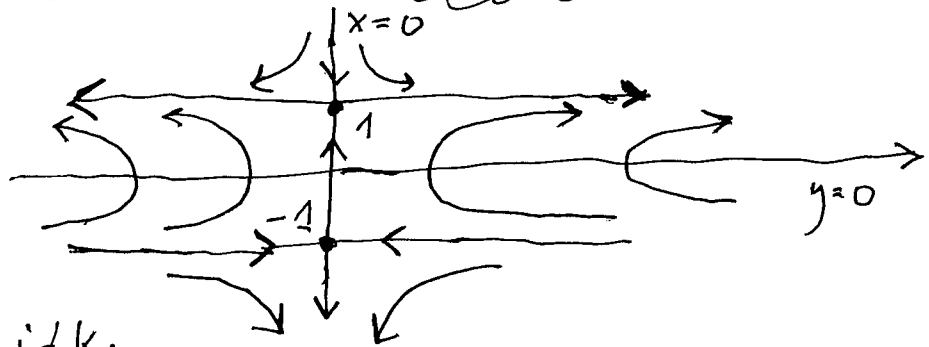
inkább  
felül,  
mint belül:

$$\left[ \begin{array}{cc} -x(1-x) - cy > |y| & \text{a harmadik síknegyedben} \\ \downarrow & \downarrow \\ 0 & 0 \end{array} \right]$$

[és a ~~negyedik~~ második síknegyedben sem lehet föl]

$$\dot{x} = xy$$

$$\dot{y} = 1 - y^2$$

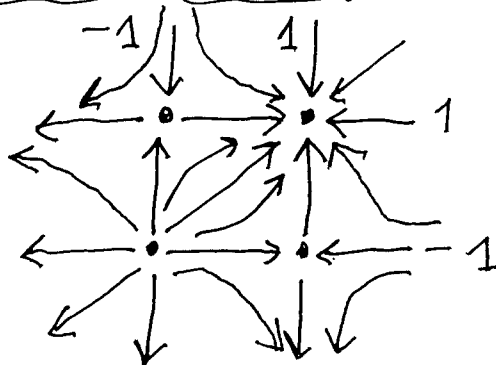


erős szimmetriák:

könnyű az elbuzdulása a globális fázisportrénak is

$$\dot{x} = 1 - x^2$$

$$\dot{y} = 1 - y^2$$



ez is könnyű